

# *Минералогия*

---

УДК 549.324.31(574.1)

*К. Р. ПЛЕХОВА, Т.М. ЖАУТИКОВ, Л. Д. БАГЫБЕК*

(Институт геологических наук им. К. И. Сатпаева)

## **МОРФОГЕНЕТИЧЕСКИЕ РАЗНОВИДНОСТИ ПИРИТА – КАК МИНЕРАЛОГИЧЕСКИЙ ПОИСКОВЫЙ КРИТЕРИЙ ЗОЛОТОНОСНОСТИ ПОРОД ЗАПАДНО-КАЛБИНСКОЙ МЕТАЛЛОГЕНИЧЕСКОЙ ЗОНЫ**

### **Аннотация**

Проведено изучение кристалломорфологии пирита золото-мышьякового углеродисто-серицитолитового типа месторождений на примере месторождения Бакыршик, рудопроявлений Еспе, Костобе и участка Сардынголь. Показано, что морфологические особенности пирита при проведении поисково-разведочных работ позволяют рекомендовать его в качестве надежного поискового признака на золотоносность объектов. Установлено, что глобулярный диагенетический пирит и углеродистое вещество вмещающих пород обычно незолотоносны. Пирит кубический, образованный на основе глобулярного, слабозолотоносен, а пентагондодекаэдрический, образованный на стадии динамометаморфизма, является основным носителем дисперсного золота месторождений золото-сульфидно-углеродистых формаций.

**Ключевые слова:** пирит, поисковый критерий, золотоносность, кристалломорфология, черносланцевый тип месторождений.

**Тірек сөздер:** пирит, зерттеу критерийі, алтындану, кристалломорфология, кенорнының қаратақтаса түрі.

**Keywords:** pyrite, search criteria, gold contain, crystallomorphology, black-shale type of deposits.

Наиболее ярким представителем золото-сульфидных прожилково-вкрашенных руд, связанных с углеродисто-терригенными минерализованными осадками каменноугольного возраста, является месторождение Бакыршик [9, 14-16, 19]. Оно расположено в центральной части Западно-Калбинского золоторудного пояса. Основной рудоконтролирующей структурой месторождения является Кызыловская зона смятия широтного простирания, пологопадающая ( $35\text{--}40^\circ$ ) на север. Рудные залежи имеют сложную лento- и уплощенно-столбообразную форму при ширине по простиранию 120-250м и по падению до 500-700 м и более. Рудовмещающая толща представлена переслаиванием известковистых полимиктовых песчаников и углеродистых алевролитов с линзующимися пропластками сидеритов и будинированными слойками антрацитоподобных образований (антраксолит). Углеродистое вещество относится к керит-антраксолит-шунгит-графит-битумоидному ряду [16].

Изучение геологии и вещественного состава рудовмещающих толщ месторождения дает представление о его образовании в результате последовательного проявления трех процессов: седиментогенного (глобулярной формы сульфиды), метаморфогенного (пирит-арсенопиритовая ассоциация с тонкодисперсным золотом) и гидротермального.

Самым распространенным и информативным сульфидным минералом золоторудных месторождений является пирит. Правильно прочитанная информация, закодированная в минерале, дает возможность не только расшифровать условия кристаллизации пирита, установить его типоморфные свойства, но и расшифровать генезис месторождения в целом.

Выделяются три основных типоморфных признака пирита: кристалломорфологические особенности, термоэлектрические свойства, химический состав и элементы-примеси. Одним из наиболее информативных признаков является кристалломорфология пирита. Кристалломорфоло-

гические исследования пирита можно проводить в полевых условиях, что обеспечит оперативное и целенаправленное ведение поисковых работ.

Вопросами изучения типоморфных свойств минералов посвящены работы ученых Казахского института минерального сырья г. Алматы [9,10,18,19], Томского политехнического университета [5,11,12,13], Института Геологических наук г. Алматы [3,4,] и др. организаций [1,2,20,21]. Исследованию форм нахождения золота в сульфидных минералах и углеродистом веществе занимались сотрудники Института Геологических наук г. Алматы Матвиенко В. Н., Левин В. Л., Марченко Л. Г.[6,7,8].

Объектом исследования авторов данной статьи являются сульфидные минералы – пирит и арсенопирит, являющиеся концентратами золота месторождений золото-сульфидных прожилково-вкрашенных руд, с углеродисто-терригенными минерализованными осадками. В пробах руды месторождения Бакыршик и рудопроявлений исследовалось три морфологические разновидности пирита, каждая из которых является носителем определенного комплекса рудообразующих элементов и, главное, золота: 1) осадочно-диагенетический глобулярный (незолотоносный); 2) кубический, преобразованный из глобулярного пирита в условиях повышения давления и температуры (золотоносный); 3) пентагондодекаэдрический, часто осложненный гексаэдрическими гранями (высокозолотоносный), ассоциирующий с арсенопиритом и образованный в условиях метагенеза и динамометаморфизма. Арсенопирит, ассоциирующий с пиритом, характеризуется разнообразием морфологических типов, а также наличием звездчатых двойников и тройников срастания.

Нами выполнены исследования по изучению содержания золота в сульфидных концентратах, в монофракциях пиритов различных морфологических разностей, арсенопиритов и углеродистого вещества. Исследования проб и минералов руды проводились оптико-минералогическими методами с привлечением методов химического, рентгенофазового, спектрального, электронно-зондового анализов. Определение золота проводилось методом атомно-абсорбционного анализа и экспресс-анализа, разработанного сотрудником группы золота Института геологических наук А.А. Солдатенко [17]. Сходимость определений золота этими методами вполне удовлетворительная, при этом производительность экспресс-анализ очень высокая, что имеет большое значение при проведении исследований в лабораторных и, особенно, в полевых условиях. Ценно еще то, что экспресс-метод позволяет определить соотношение свободного и связанного золота. По месторождению Бакыршик с помощью оптических методов и рентгенофазового анализа с акцентом на определение в них соотношения пирита и арсенопирита определен вещественный состав четырех проб руды углеродсодержащих алевролитов. Результаты анализов приведены в табл. 1 и на рис. 1. Определен фазовый состав золота в пробах руды методом химического анализа (табл. 2). Для выделения сульфидных концентратов и мономинеральных фракций пирита, арсенопирита и углеродистого вещества была подобрана рациональная схема обработки проб, которая включала в себя измельчение материала до крупности – 2,0 мм, отсев класса крупностью +1,0 мм, отмывка вручную черного шлиха из фракции –1,0 мм, магнитная сепарация с выделением фракций – магнитной, электромагнитной и немагнитной, разделение немагнитной фракции в тяжелой жидкости с уд. в. 2,89 г/см<sup>3</sup>. Из тяжелой фракции вручную выделялись сульфиды, а из легкой фракции – углеродистое вещество.

Выделены сульфидные концентраты, монофракции пирита и арсенопирита из шести проб руды оруденелых алевролитов и аргиллитов. В них определено содержание золота, мышьяка, железа и серы (табл.3). В одной пробе определено содержание золота в углеродистом веществе. Изучен состав четырех протолочек руды рудопроявления Костобе и трех – рудопроявления Еспе с выделением сульфидных концентратов и определением в них содержания золота. По участку Сардынколь выполнено 82 анализа проб на содержание в них золота. Приведен анализ сульфидного концентрата месторождения Жумба.

Рентгенофазовый анализ проведен на автоматизированном дифрактометре ДРОН-4 с  $\text{Cu K}\alpha$  – излучением,  $\beta$ -фильтр. Условия съемки дифрактограмм :  $U=35\text{kV}$ ;  $I=20\text{ mA}$ ; шкала :2000 имп; постоянная времени 2с; съемка тэта-2тэта; детектор 2 град/мин.

Таблица 1 – Результаты полуколичественного рентгенофазового анализа кристаллических фаз минералов в пробах руды месторождения Бакыршик

№№ проб	Содержания минералов, масс. %			
	Арсенопирит	Пирит	Кварц	Мусковит
ЖБ13-9	55,7	26,0	13,0	25,4
ЖБ13-18	65,1	23,1	7,0	4,8
ЖБ13-33	56,9	24,3	13,3	5,5

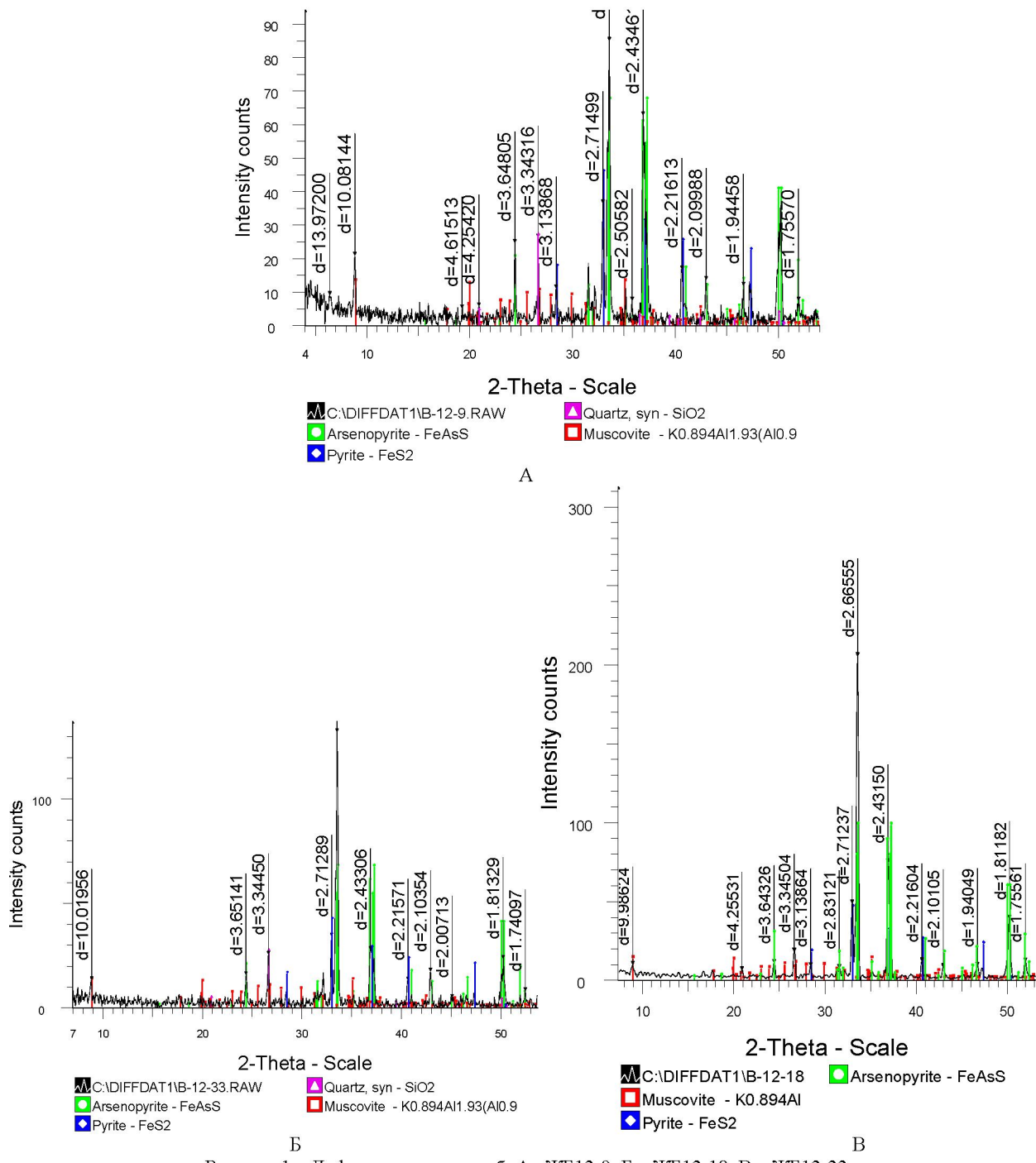


Рисунок 1 – Дифрактограммы проб: А – ЖБ13-9; Б – ЖБ13-18; В – ЖБ13-33

Формы нахождения золота, входящие в состав исследуемого вещества, определены с помощью фазового анализа. Результаты анализа представлены в таблице 2.

Таблица 2 – Фазовый анализ золота в пробах месторождения Бакыршик

№№ проб	Общее сод-ние	I-сульфидная	II-видимое	III-в арсено-пирите, пирите	IV-в углерод. вещ-ве	V-в силикатах
Б13-9	45,6	9,4	<0,1	18,0	5,9	10,6
Б13-18	28,33	1,2	<0,1	6,6	4,0	15,0
Б13-33	22,1	<0,1	<0,1	4,4	5,6	9,9
Б13-36	15,96	0,7	<0,1	10,6	3,7	<0,1

Как следует из таблицы, основная масса золота связана с сульфидами (от 4,4 до 18,0 г/т), присутствует золото также в силикатах и углеродистом веществе. Видимое золото по данным анализа составляет менее 0,1 г/т. Выполнен фазовый анализ сульфидного концентрата месторождения Жумба, состоящего из пирита и арсенопирита. По результатам анализа золото представлено четырьмя минеральными фазами с содержанием золота (г/т): сульфидное золото – 189 (23%) тонкодисперсное самородное золото – 66 (8%), видимое самородное золото – 64 (7,8%), золото, связанное с кристаллической решеткой сульфидных минералов 500 (60%).

Таблица 3 – Содержание золота (г/т), мышьяка (%), Fe<sub>2</sub>O<sub>3</sub> (%) и серы (%) в сульфидных концентратах и минералах проб

№ п/ п	№ проб	Название объекта исследования	Содержание Au(г/т), элементов, компонентов, %				Соотношение пирит:арсенопирит	Форма кристаллов пирита, арсенопирита
			Au	As	Fe <sub>2</sub> O <sub>3</sub> (Fe)	S		
1	Б13-9,18, 33,36	Мест-е Бакыршик. Сульфидный концентрат	233	0,7	не опр.	не опр.	1:2,4	
2	-//-	Пирит	52	Не опр.	-//-	-//-	-	Пентагондодекаэдрическая
3	-//-	Арсенопирит	319,2	-//-	-//-	-//-	-	Игольчатая, четко-призматическая пикообразная
4	Б-600	Сульфидный концентрат	247,5	15,0	57,92 (40,5)	37,74	1:2,2	Форма сульфидов аналогична вышеописанным
5	Б-600а	Углеродистое вещество	10,0	Не опр.	2,07 (1,4)	Не опр.	-	-
6	Б11-9	Сульфидный концентрат	5,9	-//-	Не опр.	-//-	2,3:1	
7	-//-	Пирит	5,4	-//-	-//-	-//-	-	Кубический
8	-//-	Арсенопирит	7,07	-//-	-//-	-//-	-	Игольчатый, призматический и пр.
9	КС13-1-4	Рудопроявление Костобе. Сульфидный концентрат.	203	1,5	-//-	-//-	1:1,5	Пирит пентагон-додекаэдрический
10	E13-7-9	Рудопроявление Еспе. Сульфидный концентрат.	226	0,7	-//-	-//-	2:1	Пирит пентагон-додекаэдрический
9	C1-75 (80 проб)	Участок Сар-дынголь. Оруденелые углеродсодержащие аргиллиты и песчаники.	0,00	-//-	-//-	-//-	100:0	Пирит глобулярный
10	C1-73	Прожилок пирита в аргиллите.	1,02	-//-	-//-	-//-	100	Пирит кубический
11	Ж 13-600	Сульфидный концентрат	500,0	Не опр.	59,85 (41,85)	28,0	1:2,3	Пирит, кубический, пентагондодекаэдрический

Как следует из таблицы, по данным химико-абсорбционного анализа содержание золота в сульфидных концентратах с пентагондодекаэдрическим пиритом проб Б13-9-33, Б-600 составило, соответственно, 233 и 247,5 г/т. Соотношение пирит:арсенопирит, равно 1:2,4–2,2, при этом пирит содержит золота 52,0 г/т, арсенопирит – 319,2 г/т. В рудопроявлениях Костобе (пр. КС13-1-4) и Еспе (пр. E13-7-9) сульфидные концентраты, состоящие из пентагондодекаэдрического пирита и

арсенопирита содержат, соответственно, 203 и 226 г/т золота. Сульфидный концентрат пробы Б11-9 с кубическим пиритом содержит 5,9 г/т золота, содержание золота в пирите составляет 5,2 г/т, а в ассоциирующем с ним арсенопирите – 7,07 г/т. По участку Сардынголь, расположенному в пределах черносланцевой толщи и сложенному оруденелыми аргиллитами и песчаниками, из керна пробуренной скважины глубиной 72 м проанализировано на предмет золота 80 проб. Рудная минерализация представлена в пробах вкрапленностью глобулярного диагенетического пирита, глобулитами («оруденелыми бактериями»), не прошедшиими стадии ката- и динамометаморфизма. По результатам анализа только в пяти единичных штуфных образцах обнаружено золото с содержанием от 0,05 до 1,02 г/т. В образце из зоны окисления оно составило 0,57 г/т, а в прожилке пирита кубического габитуса 1,02 г/т (пр. С1-73). Усредненные пробы по метровым и полуметровым интервалам оказались незолотоносными. Судя по данным анализа присутствующее в породах участка углеродистое вещество также не несет следов золотой минерализации. Обращает на себя внимание, что арсенопирит полностью отсутствует. В пробе по месторождению Жумба (Ж13-600) содержание золота, связанного с сульфидными минералами составило 500 г/т от его общего содержания в концентрате.

Рассчитано распределение золота связанного с арсенопиритом и пиритом пентагондодекаэдрического габитуса (табл.4).

Таблица 4 – Распределение золота, связанного с минералами сульфидного концентрата пробы руды № Б13–9-36

№ п/п	Минерал	Содержание минералов, %	Содержание золота, г-т	Распределение
1	Пирит	30	52,0	6,58
2	Арсенопирит	70	319,2	93,42
1+2	Сульф.конц-т	100	236,9	100,0

По расчетным данным следует, что в сульфидном концентрате из оруденелого алевролита 93,42% золота связано с арсенопиритом и 6,58% – с пиритом.

Пирит в пробах Б13-9-36 и Б-600 характеризуется кристаллическими образованиями пентагондодекаэдрической формы, осложненного гранями гексаэдрического облика (рис. 2). Размер кристаллов от тысячных до 1–2 мм в сечении. Метакристаллы пирита порой насыщены включениями углеродистого вещества и рутила. Зональные пириты имеют скелетообразные и футлярообразные формы кристаллов с видимыми зонами роста. Часто встречаются срастания двух-трех и более индивидов пирита. Иногда пирит сильно раздроблен, катаклизирован, обломки расташены и выполнены породной матрицей. Арсенопирит тонко-среднезернистый игольчатого, пикообразного или четко призматического облика (рис. 3). Встречаются звездчатые двойники и тройники (рис. 4). Иногда кристаллы арсенопирита катаклизированы, расташены и залечены нерудной массой вмещающей их породы (рис.5). В катаклизированных зернах арсенопирита отмечается зональное строение и включения нерудного материала. В ассоциациях пирит и арсенопирит создают гипидиоморфнозернистую, а на отдельных участках панидиоморфнозернистую структуры.

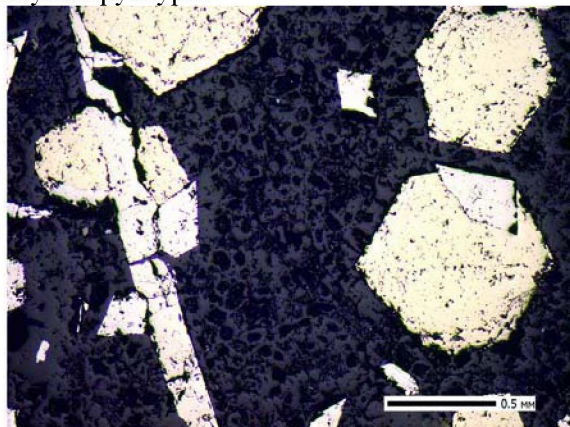


Рисунок 2 – Гексаэдрический пирит в срастании с арсенопиритом ромбоэдрической и длиннопризматической форм. Аншлиф, отраженный свет

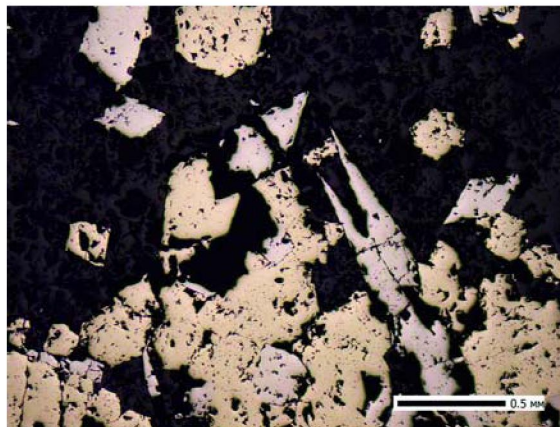


Рисунок 3 – Срастания пирита с копьевидным арсенопиритом. Аншлиф, отраженный свет

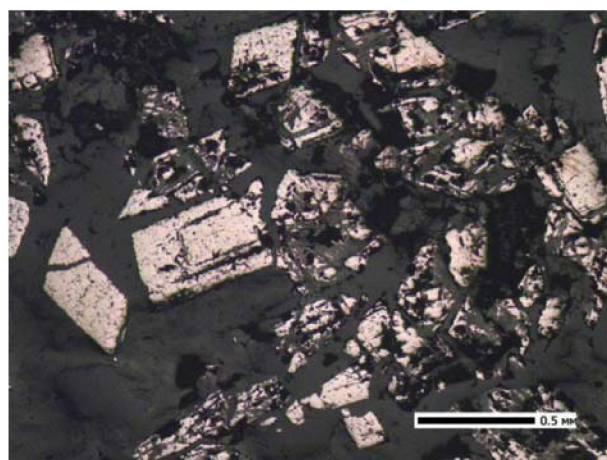


Рисунок 4 – Сложные двойниковые(звездчатые) сростки арсенопирита в аргиллите.  
Анишлиф, отраженный свет

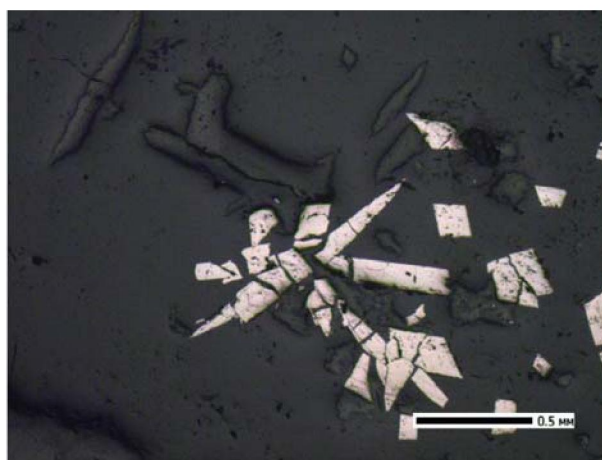


Рисунок 5 – Арсенопиритовая минерализация в аргиллите. Арсенопирит катализирован,  
Анишлиф, отраженный свет раздроблен

Пирит кубического габитуса отобран из будинированной конкреции рудного тела №1 месторождения Бакыршик. Расположена она среди измененного высокоуглеродистого алевропелита. Рудная конкреция имеет длину 21-23 см, толщину 2 см. Внутренняя текстура конкреции – слоистая (рисунок 6). Рудные сульфидные слои, очень тонкие, имеют однородное строение и пятнисто-вкрапленную текстуру.



Рисунок 6 – Рудные сульфидные слои в конкреции. Макросъемка анишлифа

Основными рудными минералами конкреции являются пирит и арсенопирит. Находятся они в виде тонких и мелких зерен и сростков величиной от сотых долей миллиметра до 0,1-0,2 мм. Преобладают зерна величиной 0,07-0,06 мм. Пирит встречен в виде кубических кристаллов и зерен неправильной, возможно ксеноморфной формы с частичной прямолинейной огранкой. Собственно диагенетический пирит – глобулярный здесь отсутствует. Присутствующие в конкреции сульфиды образовались на поздних этапах литогенеза и динамометаморфизма.

Для выявления внутреннего строения и структур роста пиритов было проведено структурное травления его индивидов. Травление проводилось реагентом, состоящим из смеси азотной кислоты и фтористого кальция в течение 2-3 минут. В результате травления выявлено четкое ритмично зональное строение кристаллов пирита. Тонкие зонки роста параллельны гексаэдрическим граням кристалла или они имеют округлые очертания (рисунок 7, 8). Кубические кристаллы также характеризуются зональным строением с округлыми, тетраэдрическими или гексаэдрическими зонами роста, характерными обычно для пентагондодекаэдрического пирита (рисунок 9). По всей вероятности кубические кристаллы с подобными зонами роста являются «затравкой» для образования пентагондодекаэдрических кристаллов пирита, образованного на более высокой стадии метаморфизма и обогащенного золотом. В арсенопирите также отмечаются зоны роста тонкого ритмично-зонального строения, а в плоскости [001] отмечается зональность с зонами, различающимися по цветовым эффектам, где внутренняя зона светлая, а внешняя – темная (рисунок 10).

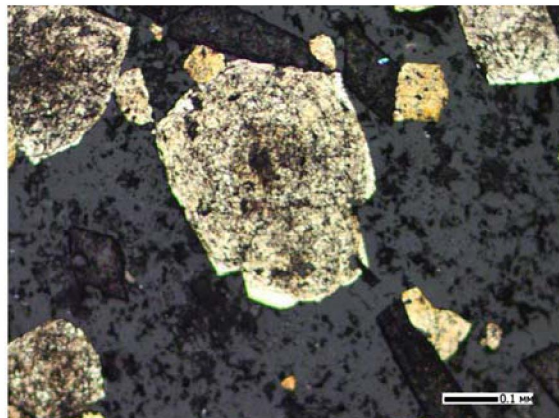


Рисунок 7 – Ритмично-зональный кристалл пирита с тонкими зонами роста. Протравлено концентрированной  $\text{HNO}_3$  с  $\text{CaF}_2$ . Анишлиф, отраженный свет

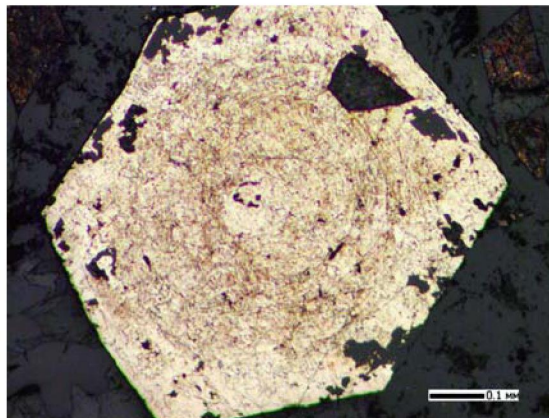


Рисунок 8 – Гексаэдрический метакристалл пирита зонального строения с тонкими округлыми зонами роста и захваченными при росте кристалла включениями разложенного арсенопирита и нерудных минералов. Протравлено. Анишлиф, отраженный свет

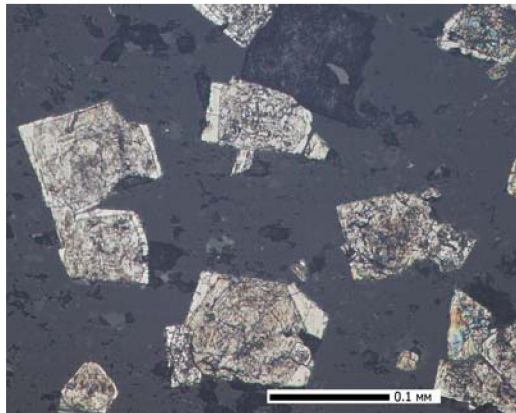


Рисунок 9 – Пирит кубической формы с зонами роста гексагональных очертаний из эллипсоидальной арсенопирит-пиритовой конкреции. Протравлено. Анишлиф, отраженный свет

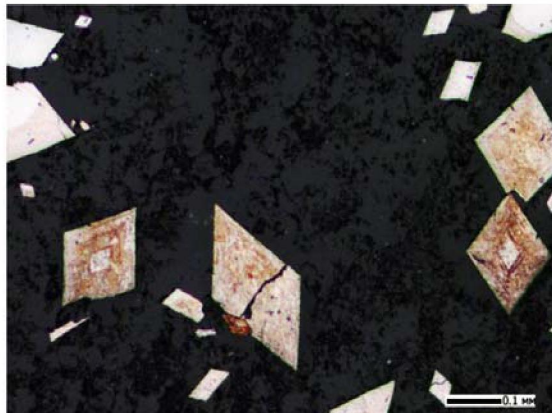


Рисунок 10 – Зональный арсенопирит с тонкими ритмичными зонами роста и двойниковым строением. Протравлено. Анишлиф, отраженный свет

Кристалломорфологические и аналитические исследования сульфидных концентратов, пирита и арсенопирита трех разновидностей – глобулярного, кубического и пентагонодекаэдрического по пяти объектам черносланцевой формации региона, а также данные предыдущих исследователей по изучению и использованию кристалломорфологии сульфидных минералов в качестве поискового критерия на золото, позволили сделать вывод о возможности на количественной основе рекомендовать использование морфологических особенностей пирита в качестве надежного поискового признака на золото. Ценность метода в том, что кристалломорфологические исследования пирита можно проводить непосредственно в полевых условиях, что обеспечит оперативное и целенаправленное проведение поисковых работ. Необходимо отметить большую практическую значимость применения экспресс-метода определения содержания и форм нахождения золота в породах, позволяющего наряду с определением кристалломорфологии пирита оперативно проводить разбраковку проб по содержанию в них золота и выделять перспективные площади для дальнейшего их изучения.

## ЛИТЕРАТУРА

- 1 Джафаров Г. Д. Кристалломорфология пирита и его минералогическое значение. Баку: Элм, 1970.–118 с.
- 2 Евзикова Н. З. Поисковая кристалломорфология.–М.: Недра, 1984. –143с.
- 3 Каймирасова А. Г. Типоморфные особенности золотоносных сульфидов одного из месторождений черносланцевой формации // В кн.: Типоморфизм минералов рудных месторождений Казахстана. Алма-Ата, 1978, с.88-93.

- 4 Каймирова А. Г. Об электронно-микроскопическом изучении золотоносных пиритов. Изв. АН КазССР, сер. геол., 1968, №3, с.83-86.
- 5 Лукьянова Е. В. Прогнозирование и поиски золотого оруденения в черносланцевых толщах Западной Калбы на основе изучения типоморфных особенностей пирита и арсенопирита. Автореферат диссерт. на звание канд. геол.-мин. наук. Томский политехнический университет. 2000.
- 6 Марченко Л. Г. Микро-наноминералогия золота и платиноидов в черных сланцах. -Алматы: Интерпресс-Казахстан, 2010. 146 с.
- 7 Матвиенко В. Н. Типоморфизм самородного золота, особенности углеродистого вещества и кремнезема как индикаторы процессов образования золоторудных месторождений // Геология Казахстана. 1994. №6. С.31-52.
- 8 Матвиенко В. Н., Калашников Ю. Д, Нарсеев В. А. ЗАО «Аналитические технологии MPG-PGO». Кластеры – протоформа нахождения драгметаллов в рудах и минерализованных породах // Руды и металлы. 2004. №5. С.28-36.
- 9 Нарсеев В.А., Старова М. М. О природе тонкодисперсного золота в пиритах и арсенопиритах золоторудных месторождений // Минералогия золота. Тезисы докл. Симпозиума «Минералогия и геохимия золота», часть I. Владивосток, 1974. Стр. 82-83
- 10 Нарсеев В. А., Гостев И. В., Захаров А. В. И др. Бакырчик (геология, геохимия, оруденение). М.: ЦНИГРИ, 2001. 174 с.
- 11 Пшеничкин А. Я, Коробейников А. Ф., Мацюшевский А. В. Особенности кристалломорфологии и термоэлектрических свойств пиритов золоторудных месторождений различных типов // Изв. Томск. политехн. ин-та. Томск. 1976.-Т.264. С.82-84.
- 12 Пшеничкин А. Я. Пирит как поисковый минералогический критерий на золото //Генетическая информация в минералах: Тез. II Всесоюзн. минерал. семинара. Сыктывкар, 1980. С.150-151.
- 13 Пшеничкин А. Я. Кристалломорфология пирита и ее использование в практике поисково-разведочных работ на золото // Геология и геофизика. № 11, 1989. С.65-74
- 14 Рафаилович М. С. Золото недр Казахстана: геология, металлогения, прогнозно-поисковые модели. Алматы, 2009. С. 119–130.
- 15 Рафаилович М. С. Крупное золото-сульфидное месторождение Бакырчик в Казахстане: геологическое строение, прогнозно-поисковая модель // Геология и минеральные ресурсы. Алматы. №4. С. 31-38.
- 16 Рафаилович М. С. Крупные месторождения золота в черносланцевых толщах: условия формирования, признаки сходства. Алматы, 2011. С. 61-76.
- 17 Солдатенко А. А. Способ определения золота. Инновационный патент на изобретение №23577 от 05.11.2010.
- 18 Старова М. М. Временное методическое пособие по минералогическим методам поисков и оценки золоторудных месторождений. Алма-Ата: КазИМС, 1980. 80с.
- 19 Старова М. М. и др. Месторождение Бакырчик // В кн: Металлогения Казахстана. Алма-Ата, 1980. С. 52-61.
- 20 Типоморфизм минералов. Справочник. М., «Недра» 1989. С.355-362.
- 21 Типоморфизм кварца, пирита и золота золоторудных месторождений Узбекистана. Ташкент. Изд-во «ФАН» Узбекской ССР, 1981. С. 52-69.

#### LITERATURA

- 1 Dzhafarov G. D. Kristallomorfologiya pirita i ego mineralogicheskoe znachenie. Baku: Elm, 1970.–118 s.
- 2 Evzikova N. Z. Poiskovaya kristallomorfologiya.–M.: Nedra, 1984.–143s.
- 3 Kajmirasova A. G. Tipomorfnye osobennosti zolotonosnyx sulfidov odnogo iz mestorozhdenij chernoslancevoj formacii // V kn.: Tipomorfizm mineralov rudnyx mestorozhdenij Kazaxstana. Alma-Ata , 1978, s.88-93.
- 4 Kajmirasova A. G. Ob elektronno-mikroskopicheskem izuchenii zolotonosnyx piritov. Izv. AN KazSSR, ser. geol., 1968, №3, s.83-86.
- 5 Lukyanova E. V. Prognozirovanie i poiski zolotogo orudeniya v chernoslancevyx tolshhax Zapadnoj Kalby na osnove izucheniya tipomorfnyx osobennostej pirita i arsenopirita. Avtoreferat dissert. na zvanie kand. geol.-min. nauk. Tomskij politexnicheskij universitet. 2000.
- 6 Marchenko L. G. Mikro-nanomineralogija zolota i platinoidov v chernyx slancax. -Almaty: Interpress-Kazakhstan, 2010. 146 s.
- 7 Matvienko V. N. Tipomorfizm samorodnogo zolota, osobennosti uglerodistogo veshhestva i kremnezema kak indikatory processov obrazovaniya zolotorudnyx mestorozhdenij // Geologiya Kazaxstana. 1994. №6. S.31-52.
- 8 Matvienko V. N., Kalashnikov Yu. D, Narseev V. A. ЗАО «Аналитические технологии MPG-PGO». Klastery –protoforma naxozhdeniya dragmetallov vrudax i mineralizovannix porodax // Rudy i metally. 2004. №5. S.28-36.
- 9 Narseev V. A., Starova M. M. O prirode tonkodispersnogo zolota v piritax i arsenopiritax zolotorudnyx mestorozhdenij // Mineralogiya zolota. Tezisy dokl. Simpoziuma «Mineralogiya i geoximiya zolota», chast I. Vladivostok, 1974. Str. 82-83
- 10 Narseev V. A., Gostev I. V., Zaxarov A. V. I dr. Bakyrchik (geologiya, geoximiya, orudenie). M.: CNIGRI, 2001. 174 s.
- 11 Pshenichkin A. Ya, Korobeynikov A. F., Macyushevskij A. V. Osobennosti kristallomorfologii i termoelektricheskix svojstv piritov zolotorudnyx mestorozhdenij razlichnyx tipov // Izv. Tomsk. politexn. in-ta. Tomsk. 1976.-T.264. S.82-84.
- 12 Pshenichkin A. Ya. Pirit kak poiskovyj mineralogicheskij kriterij na zoloto //Geneticheskaya informaciya v mineralax: Tez. II Vsesoyuzn. mineral. seminara. Syktyvkar, 1980. S.150-151.
- 13 Pshenichkin A. Ya. Kristallomorfologiya pirita i ee ispolzovanie v praktike poiskovo-razvedochnyx rabot na zoloto // Geologiya i geofizika. № 11, 1989. S.65–74
- 14 Rafailovich M. S. Zoloto nedr Kazaxstana: geologiya, metallogeniya, prognozno-poiskovye modeli. Almaty, 2009. S. 119–130.

- 15 Rafailovich M. S. Krupnoe zoloto-sulfidnoe mestorozhdenie Bakyrchik v Kazaxstane: geologicheskoe stroenie, prognozno-poiskovaya model // Geologiya i mineralnye resursy. Almaty, №4. S. 31-38.
- 16 Rafailovich M. S. Krupnye mestorozhdeniya zolota v chernoslancevyx tolshhax: usloviya formirovaniya, priznaki sxodstva. Almaty, 2011. S. 61-76.
- 17 Soldatenko A. A. Sposob opredeleniya zolota. Innovacionnyj patent na izobretenie №23577 ot 05.11.2010.
- 18 Starova M. M. Vremennoe metodicheskoe posobie po mineralogicheskim metodam poiskov i ocenki zolotorudnyx mestorozhdenij. Alma-Ata: KazIMS, 1980. 80s.
- 19 Starova M. M. i dr. Mestorozhdenie Bakyrchik // V kn: Metallogenija Kazaxstana. Alma-Ata, 1980. S. 52-61.
- 20 Tipomorfizm mineralov. Spravochnik. M., «Nedra» 1989. S.355-362.
- 21 Tipomorfizm kvarca, pirita i zolota zolotorudnyx mestorozhdenij Uzbekistana. Tashkent. Izd-vo «FAN» Uzbekskoj SSR, 1981. S. 52-69.

Плехова К.Р., Багыбек Л.Д.

(К.И. Сатпаев атындағы Геологиялық ғылымдар институты)

ПИРИТТИҢ МОРФОГЕНТИКАЛЫҚ ӘРТҮРЛІЛІГІ - БАТЫС-ҚАЛБЫ МЕТАЛЛОГЕНДІК АЙМАҚТЫҢ МИНЕРОЛОГИЯЛЫҚ БАРЛАУ БЕЛГІЛЕРІНІҢ АЛТЫНДЫ ЖЫНЫСЫ СЕКИЛДІ

**Резюме**

Сульфидті концентраттың кристаллды морфологиялық және аналитикалық зерттеулері, пирит және арсенопириттің үш түрі – глобулярлы, шаршылық және пентагондодекаэдрлік төрт нысан бойынша аймақтың қаратактатасты формациясы, сонымен катар алдыңғы зерттеушілердің зерттеулері пириттің морфологиялық ерекшеліктерін пайдалану алтынды сенімді барлау белгісінің сапасы негізінде корытынды жасауға мүмкіндік берді. Әдістің бағалылығы – дала жағдайында тікелей пиритке кристалломорфологиялық зерттеу жүргізу мүмкіндігі, оперативті және белгілі бір бағытта барлау жұмысын жүргізуі қамтамасыз етеді.

**Тірек сөздер:** пирит, зерттеу критерийі, алтындану, кристалломорфология, кенорнының қаратактатас түрі.

K.R. Plekhova, L.D. Bagybek

(Institute of Geological Science of K.I. Satpaev)

THE MORPHOGENETIC DIVERSITY OF THE PYRITE AS A MINERALOGIC SEARCH CRITERIA FOR GOLD-BEARING ROCKS OF THE WEST KALBINSKIY METALLOGENIC ZONE

**Summary**

Crystallomorphological and analytical studies of sulfide concentrates, pyrite , and arsenical pyrite of three varieties , namely, globulitine, isometric, and pentagonal dodecahedron, at four manifestations of black-shale formation of the region were carried out. Obtained results and also data of previous researches have made it possible to recommend the morphological features of pyrite as a reliable search characteristic for gold presence. The value of this method is in operative crystallomorphological study of pyrite during field surveys which is important for purposeful geological prospecting.

**Keywords:** pyrite, search criteria, gold contain, crystallomorphology, black-shale type of deposits.

Поступила 13.01.2014 г